



VIII Congresso Nazionale S.I.M.E.U.

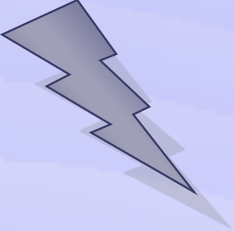
Rimini 19 Ottobre 2012

ECO NELLA POLMONITE

Maurizio Zanobetti

*Osservazione Breve Intensiva
Dipartimento di Area Critica Medico Chirurgica
Azienda Ospedaliero-Universitaria Careggi Firenze*

Diagnosi di Polmonite



European Respiratory Society Guidelines :
(Polmonite Acquisita in Comunità) : Malattia acuta con segni e sintomi compatibili con una infezione respiratoria supportata dal “reperto RX” di nuovi infiltrati polmonari

Forte consenso tra società internazionali sull'utilizzo dell'RX torace in pazienti con sospetta polmonite

Woodhead M et al. Microbiol Infect 2011;17:E1-59.

Mandell LA et al. Clin Infect Dis 2007;44:S27-72.

Lim WS et al. Thorax 2009;64:

65 % accuratezza diagnostica Rx torace confrontato con TC

Syrjala et al. Clin Infect Dis 1998;27:358e63.

Diagnosi di Polmonite



Variabilità “intra” ed “interosservatore”
58 % concordanza tra due gruppi di radiologi

Albaum MN et al. Chest 1996;110:343-50.

Limitazioni maggiori in setting ICU e ED

TC come gold standard.

Spesso non accessibile. Alte radiazioni.

Wyncoll DL et al. Lancet 1999;354:497-501

Syrjala H et al.. Clin Infect Dis1998;27:358-63.

Ecografia del Torace

Convex o Micro Convex (3.5-5 MHz)

Lineare (5-12 MHz)

Anteriormente Supino



Anteriore

Laterale

Superiore
Medio
Inferiore

Posteriormente Seduto



Posteriore

Limitazioni: Retroscapolare - Retrocardiaca - Sopraclaveare

Ben visibili regioni subpleuriche

Solo 8 % dei casi: la lesione parenchimale non raggiunge
linea pleurica o è nascosta da struttura ossea

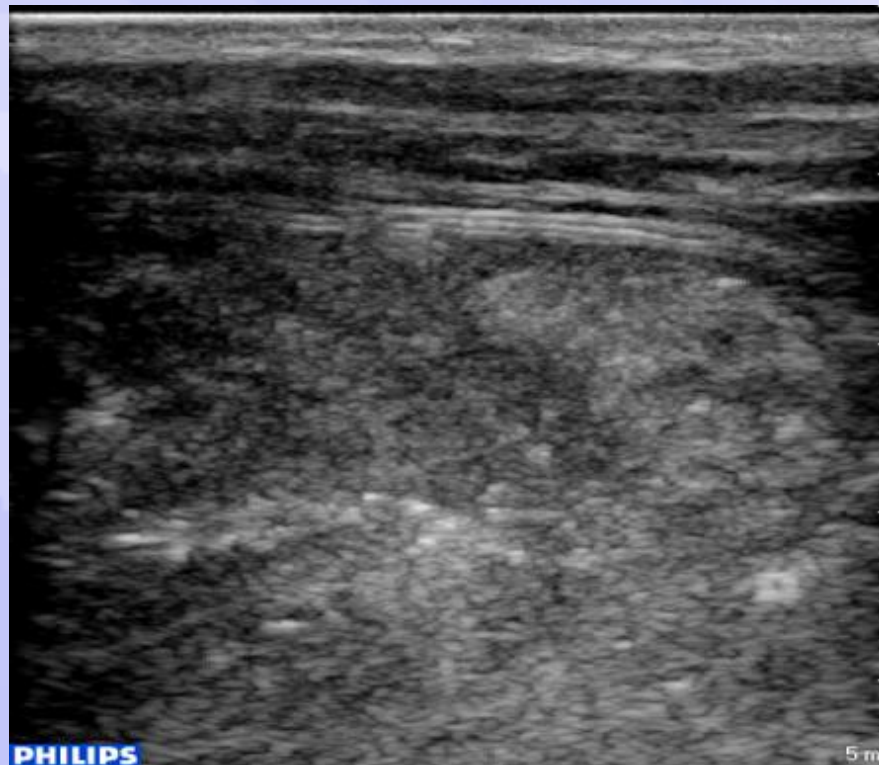
Morfologia US delle Polmoniti

Criteri : Parenchimali, Pleurici, Vascolari

Criteri Parenchimali

- Scarsa ecogenicità ed ecostruttura disomogenea

Reissig A et al. Respiration 2007;74:537-47



Morfologia US delle Polmoniti

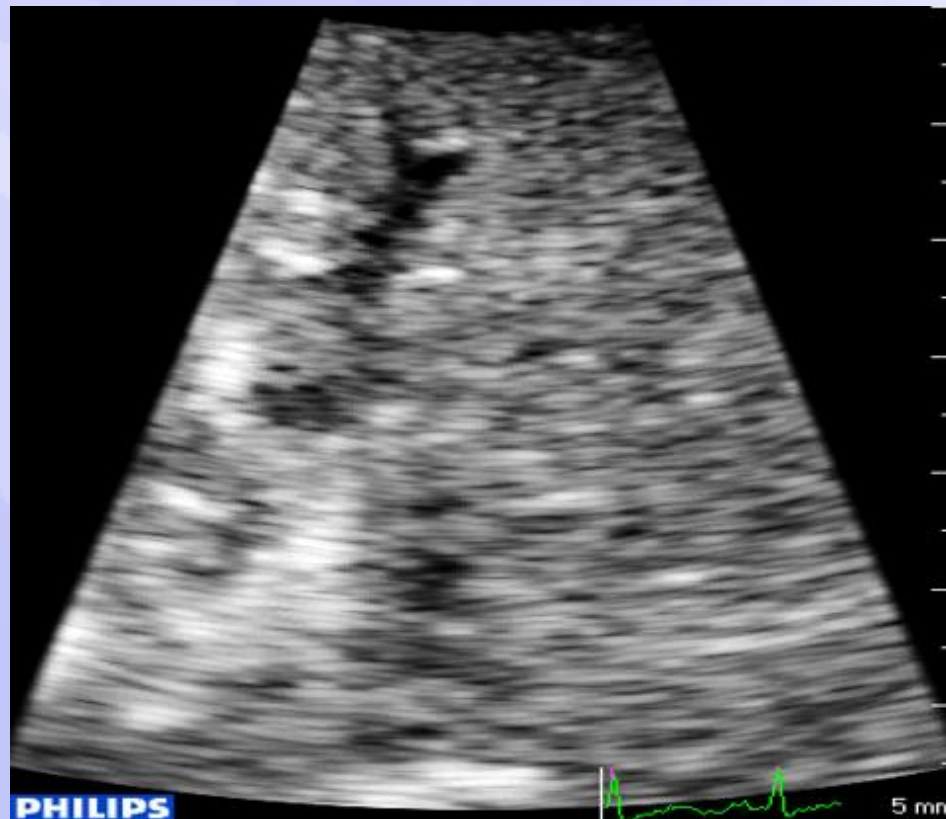
Criteria Parenchimali

- Broncogramma aereo dinamico **70-97% dei casi**

Lichtenstein D. et al. Chest 2009; 135:1421-1425

Reissig A et al. Respiration 2007;74:537-47.

Sperandeo M et al. Eur J Clin Invest 2011;41:1-7.



Morfologia US delle Polmoniti

Criteria Parenchimali

- Movimento consensuale con il respiro in **98-100 %**
- I margini dell' area addensata sono spesso irregolari e indistinti
- Lesioni poligonali **(43-51%)** o Ovali **(40-46%)** e non demarcati
- Più di un addensamento nel **2-23 %** dei casi
- Grandezza media delle lesioni **3,8 x 12,5 cm**

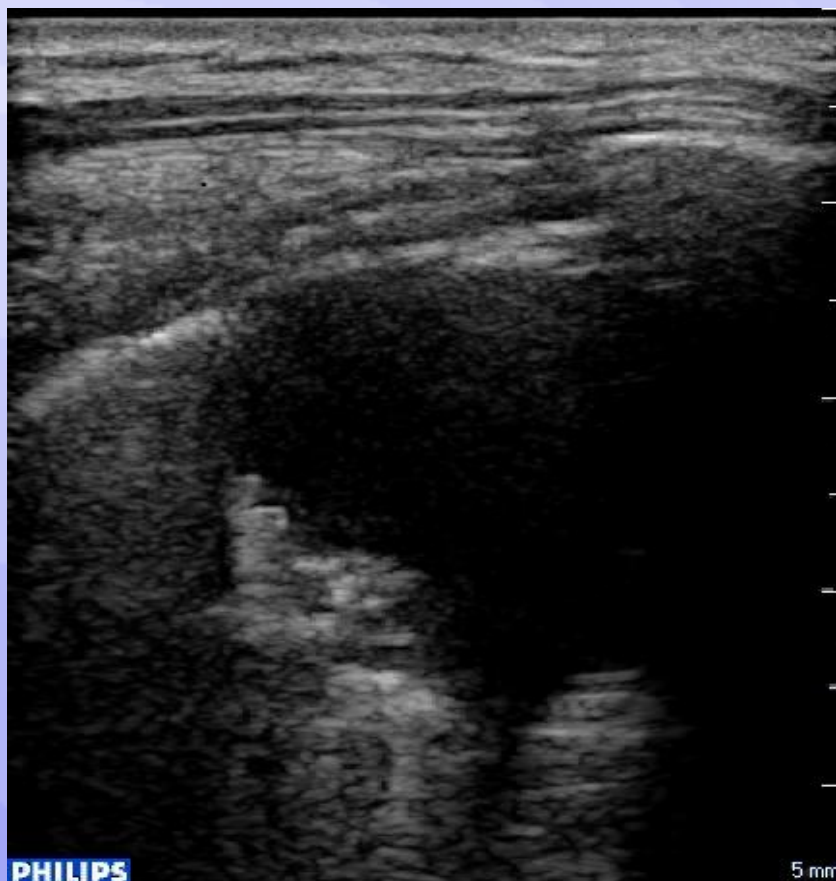
Morfologia US delle Polmoniti

Criteri Parenchimali

- Alveologramma fluido superficiale **76 %**
 - area omogenea superficiale senza aria ne broncogramma

Basale

Follow up a 12 giorni



Morfologia US delle Polmoniti

Criteri Parenchimali

Ruolo delle Linee B controverso :

Polmoniti interstiziali

In associazione all'addensamento

Sostituiscono l'addensamento quando lo stesso risolve

Reissig A et al. Respiration 2007;74:537-47.

Sperandeo M et al. Eur J Clin Invest 2011;41:1-7.



Morfologia US delle Polmoniti

Criteri Parenchimali

- **Broncogramma Fluido** **8-31 %**

Sperandeo M et al. EurJ Clin Invest 2011;41:1-7.



Morfologia US delle Polmoniti

Criteri Pleurici

- Frammentazione Localizzata della linea pleurica

Sperandeo M et al. EurJ Clin Invest 2011;41:1-7.

Gehmacher O et al. Ultrasound Med Biol 1995;21:1119-22.



Morfologia US delle Polmoniti

Criteri Pleurici

➤ Versamenti

Basali: **34-61 %**

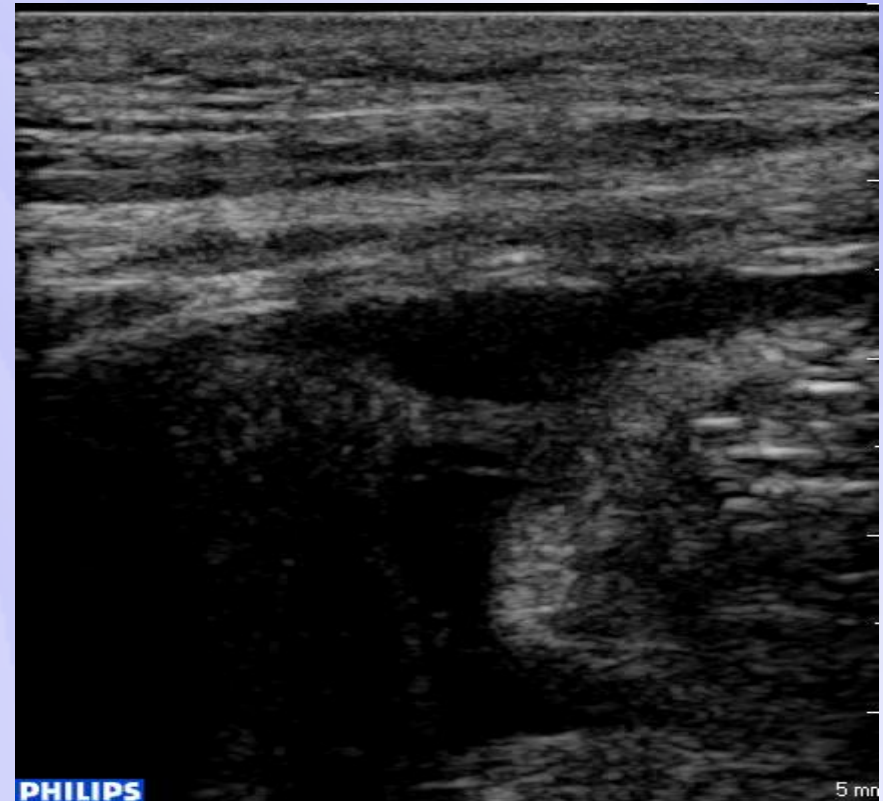
Reissig A et al. Respiration 2007;74:537-47.

Localizzati: **9-42 %**

Sperandeo M et al. Eur J Clin Invest 2011;41:1-7.

Gehmacher O et al. Ultrasound Med Biol 1995;21:1119-22.

Talora iperecogenicità del versamento con contrasto spontaneo e
sepimentazioni



Morfologia US delle Polmoniti

Criteri Vascolari

- **Color Doppler** : Vascolarizzazione ad albero dal centro alla periferia

Reissig A et al. Ultraschall Med 2009;30:438-58.

- **Analisi della curva spettrale:**

Arterie Polmonari : alta resistenza, flusso trifasico e centrifugo.

Arterie Bronchiali : bassa resistenza, flusso monofasico e direzione variabile

Görg C et al. Ultraschall Med 2004;25:285-91.

La maggior parte delle polmoniti presentano un aumento del flusso delle arterie polmonari

Görg C. EJR 2007;64:213-21.

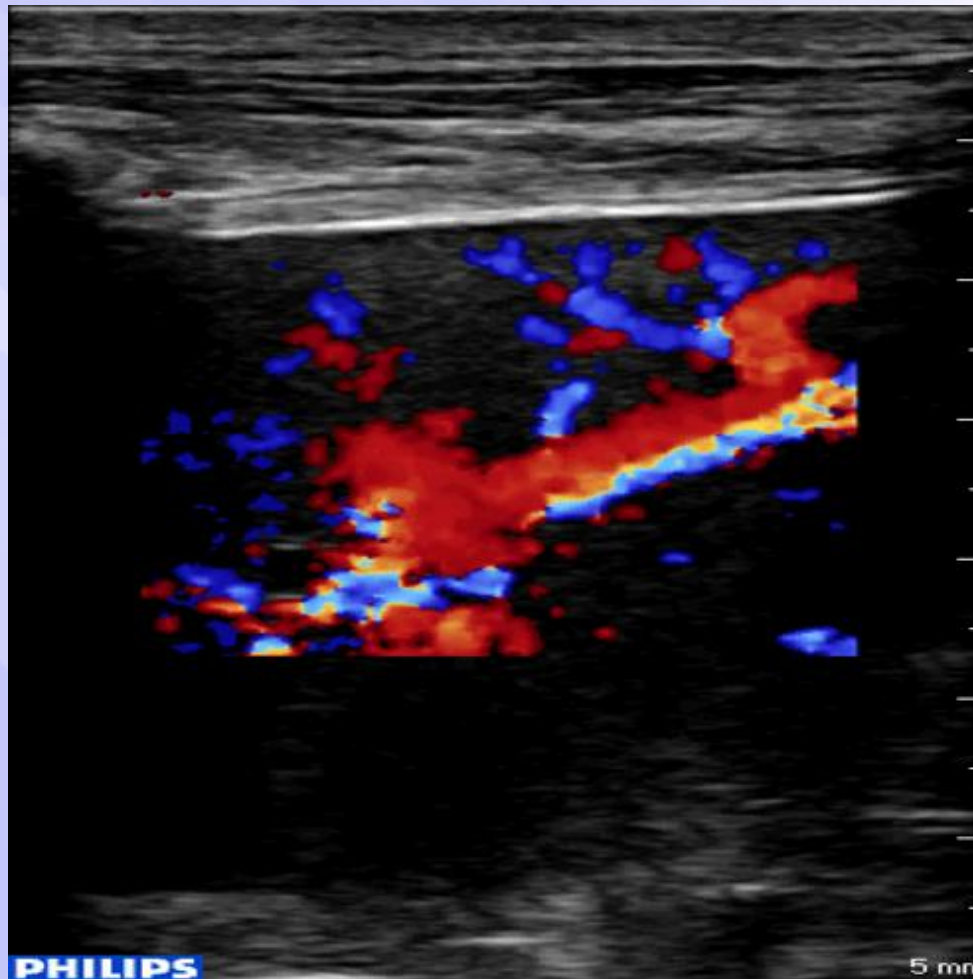
- **Contrasto US** : breve tempo di comparsa ed elevato enhancement

Görg C. EJR 2007;64:213-21.

Morfologia US delle Polmoniti

Criteri Vascolari

- Utilità del Color Doppler nella Diagnosi Differenziale con il Broncogramma Fluido



D. Differenziale US delle Polmoniti

Cancro, Embolia Polmonare, Atelettasia

Cancro

- Policiclici, non nettamente delimitati, talora infiltranti tessuti adiacenti e/o pleura. (in tal caso assenza di gliding)
- No broncogramma aereo
- Neoangiogenesi e aumentato flusso nei vasi intercostali
- Ritardato tempo di comparsa e variabile enhancement al contrasto US

D. Differenziale US delle Polmoniti

Embolia polmonare

- Lesioni ipoecogene sub pleuriche multiple, prevalentemente localizzate nelle regioni dorsali e basali. Dimensioni da **5-20 mm**

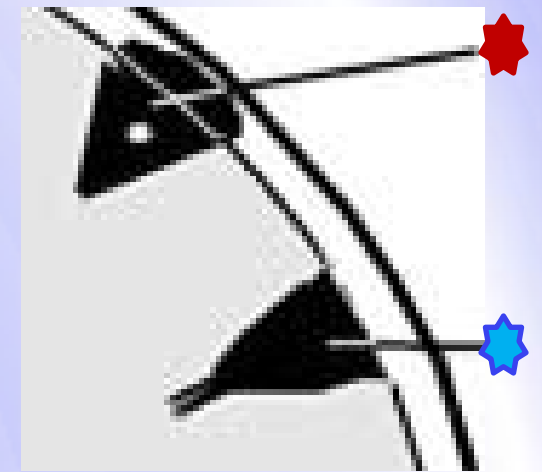
Mathis G et al Chest 2005;128:1531-8.
Reissig A et al. Chest 2001;120:1977-83.

- **86 %** forma triangolare
11 % rotonde **3%** poligonali
(talora singolo eco centrale di parenchima residuo) 

Reissig A et al. Chest 2001;120:1977-83.

- Al color Doppler assenza di segnale di flusso. Talora vascular sign  all'apice del triangolo come segno di congestione in vaso trombizzato

Reissig A et al. Chest 2001;120:1977-83.



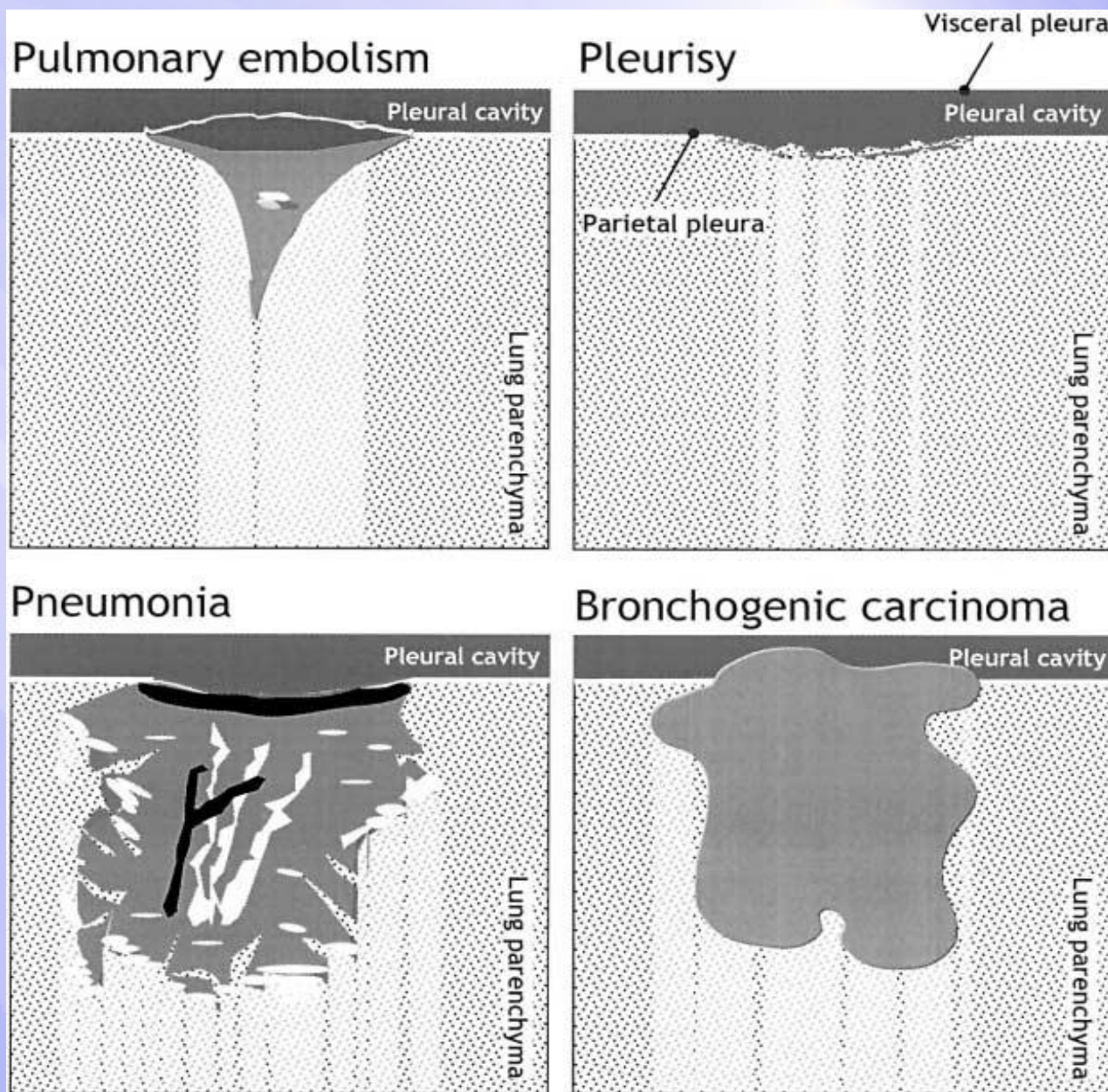
D. Differenziale US delle Polmoniti

Cancro

Infarto Polmonare



D. Differenziale US delle Polmoniti



D. Differenziale US delle Polmoniti Atelettasia

- **DA COMPRESSIONE** : in grandi versamenti. Margini lisci e nettamente delimitati. Di forma concava ed ecogenicità moderata.

Reissig A et al. Chest 2001;120:1977-83

- **DA OSTRUZIONE** : Aspetto omogeneo ed ecogenicità comparabile a quella del fegato (epatizzazione). Talora presenza di broncogramma fluido. No broncogramma aereo.

Lichtenstein D et al Chest 2009;135:1421-5.

Doppler e Contrasto US utili per la datazione. Atelettasie recenti mostrano una aumentata vascolarizzazione, polmonare e bronchiale e un breve tempo di comparsa ed elevato enhancement contrastografico. Nelle atelettasie datate vascolarizzazione ridotta o assente

Görg C et al. Ultraschall Med 2006;27:437-44.

D. Differenziale US delle Polmoniti

Atelettasia



Rx Torace od Ecografia ?

CHEST June 13, 2012. Lung ultrasound in the diagnosis and follow-up of community-acquired pneumonia. A prospective multicentre diagnostic accuracy study

Angelika Reißig, Roberto Copetti, et al

362 pazienti con sospetta Polmonite Acquisita in Comunità

- **Ecografia** vs Reference test: **RX** o **TC** in caso di RX inconclusiva/negativa ma Ecografia positiva.

- Nei positivi follow-up tra 5-8 e 13-16 giorni

PAC confermata in **229** pazienti (**63.3%**).

Ecografia : sensibilità **93.4%** specificità **97.7%**

Follow-up a 13-16 giorni :

PCR da **137** a **6.3** mg

Area mediana area della lesione da **15.3** a **0.2** cm²

Versamento Pleurico consensuale da **50** a **0** ml.

Rx Torace od Ecografia ?

Testa et al. *Critical Care* 2012, **16**:R30
<http://ccforum.com/content/16/1/R30>



RESEARCH

Open Access

Early recognition of the 2009 pandemic influenza A (H1N1) pneumonia by chest ultrasound

Americo Testa^{1*}, Gino Soldati², Roberto Copetti³, Rosangela Giannuzzi¹, Grazia Portale³ and Nicolò Gentiloni-Silveri¹

98 patients who arrived in the Emergency Department complaining of influenza-like symptoms were enrolled

Clinical history, laboratory tests, CRx, and computed tomography (CT) scan, if indicated, contributed to define the diagnosis of pneumonia

34 patients with a final diagnosis of pneumonia

16 having normal initial CRx.

An abnormal US pattern was detected in **32 of 34** patients with pneumonia (**94%**)

Prevalent US pattern of interstitial syndrome was depicted in **15 of 16** patients with

normal initial CRx, of whom **10 (62%)** had a final diagnosis of viral (H1N1) pneumonia.

Patients with pneumonia and abnormal initial CRx, of whom only **4** had a final diagnosis of viral (H1N1) pneumonia (**22%; P < 0.05**)

US : **sensitivity of 94%, specificity of 85%, PPV of 86%, and NPV of 93%.**

Rx Torace od Ecografia ?

Importanza nel setting Pediatrico

Pediatric Pulmonology

Lung Ultrasound Characteristics of Community-Acquired Pneumonia in Hospitalized Children

Vito Antonio Caiulo, MD,^{1*} Luna Gargani, MD,² Silvana Caiulo, MD,³ Andrea Fisicaro, MD,³
Fulvio Moramarco, MD,¹ Giuseppe Latini, MD,⁴ Eugenio Picano, MD, PhD,² and
Giuseppe Mele, MD⁵

102 patients with clinical signs and symptoms suggesting pneumonia, who underwent a clinically driven CXR, were evaluated by US on the same day

Final diagnosis of pneumonia was confirmed in **89/102** patients.

US was positive for the diagnosis of pneumonia in **88/89** patients

CXR was positive in **81/89**

US detect pleural effusion resulting from complicated pneumonia in **16** cases

CXR detected pleural effusion in **3** cases.

Ecografia del Torace nei pazienti che afferiscono al Pronto Soccorso con “Dispnea Acuta”

E' utile ?

E' Fattibile ?

CHEST[®]

Official publication of the American College of Chest Physicians



Can Chest Ultrasonography Replace Standard Chest Radiography for Evaluation of Acute Dyspnea in the ED?

Maurizio Zanobetti, Claudio Poggioni and Riccardo Pini

Chest 2011;139;1140-1147; Prepublished online October 14, 2010;
DOI 10.1378/chest.10-0435

The online version of this article, along with updated information and services can be found online on the World Wide Web at:

<http://chestjournal.chestpubs.org/content/139/5/1140.full.html>

Can chest US replace standard chest X-ray in ED ?

- ❑ **404** pazienti consecutivi (**51% maschi**)
- ❑ Eta' media **73 anni** (range 21-101)
- ❑ Tutti hanno eseguito US e RX Torace
- ❑ In **118** con mismatch tra US e RX effettuata TC

Tempo medio tra inizio esame e diagnosi

Ecotorace : **7 min**

RX torace : **1 h e 35 min**

Concordance between ultrasonography (US) and X-ray

	Positive diagnosis		Kappa
	US	X-ray	
Free pleural effusion	87	76	0.762*
Loculated pleural effusion	6	5	0.539*
Pulmonary edema	21	21	0.950*
ARDS pattern	3	1	0.498*
Pneumothorax	7	7	0.855*
Lung consolidation	122	111	0.705*
Pulmonary fibrosis pattern	7	9	0.873*

* P < 0.0001

Comparison of US and X-ray with chest CT as reference standard in the 118 cases of discordance between US and X-ray

CT Diagnosis	N°	X-ray			US			X-ray vs US	
		TP	Sensitivity %	Specificity %	TP	Sensitivity %	Specificity %		
Free pleural effusion	31	5	10 (2/20)	27 (3/11)	26	90 (18/20)	73 (8/11)	<0.001	NS
Loculated pleural effusion	5	2	40 (2/5)		3	60 (3/5)		NS	
Pulmonary edema	2	1		50 (1/2)	1		50 (1/2)		NS
ARDS pattern	2	0			2	100 (2/2)			
Pneumothorax	2	1	50 (1/2)		1	50 (1/2)		NS	
Lung consolidation	49	23	40 (14/35)	64 (9/14)	26	60 (21/35)	36 (5/14)	NS	NS
Pulmonary fibrosis pattern	2	2	100 (2/2)		0				

US: Ultrasonography CT: Computed Tomography

Conclusioni



La Polmonite può essere diagnosticata e seguita nella sua evoluzione con l'ecografia del torace

L'ecografia del torace mostra una eccellente sensibilità e specificità, pari almeno a quella dell'RX in due proiezioni

Rispetto a quest'ultima, mostra una facile accessibilità, ripetitività, nulli effetti ionizzanti, ma soprattutto, tempi di esecuzione e quindi di diagnosi, sensibilmente minori

Un TC del torace dovrebbe essere eseguita in caso di negatività dell'ecografia toracica se presente il sospetto di altre diagnosi differenziali e/o complicanze



Grazie per l'attenzione



zanomau@libero.it